

YAYASAN PERGURUAN CIKINI INSTITUT SAINS DAN TEKNOLOGI NASIONAL

Jl. Moh. Kahfi II, Bhumi Srengseng Indah, Jagakarsa, Jakarta Selatan 12640 Telp. 021-7270090 (hunting), Fax 021-7866955, hp: 081291030024 Email: humas@istn.ac.id Website: www.istn.ac.id

SURAT PENUGASAN TENAGA PENDIDIK

Nomor: 45-IV /03.1-F/III/2025 SEMESTER GENAP TAHUN AKADEMIK 2024/2025

Nama NIK/ NIDN/ NIDK Jabatan Akademik

Ir. Edy Supriyadi, M.T.

: 198708-001 / 0319106301 : Lektor Kepala Status Pegawai

Tetap

Program Studi

Teknik Elektro S-1

Bidang	Perincian Keglatan	Tempat	Jam	Kredit (SKS)	Hari
I.	Pengajaran di kelas termasuk laboratorium			1	
PENDIDIKAN & PENGAJARAN	Sistem Kendali Digital Klas K		09.00-10.40	1.5	Sabtu
	2. Piranti Gelombang Mikro Klas K		17:00 - 18:40	1.5	Senin
	3, Sistem Kendali Waktu Nyata Klas K		17.00-19.30	3	Jum'at
	4. Teknik Kendali + Prak Klas K		13.00 - 14.40	2	Jum'at
	2. Pembimbing				
	1. Seminar			-+	
	2. Kerja Praktek				
	3. Tugas Akhir/Tesis				
	Pembimbing Akademik			0,5	
	3. Penguil				
	1, Tugas Akhir/Tesis				
	2. Kerja Praktek			0,5	
	4. Tugas Tambahan				
	1 Monduduki inhatra di Danasa Tanasa India				
	Menduduki jabatan di Perguruan Tinggi Sebagai Gugus Kadali Maha Falan di Perguruan Tinggi Sebagai Gugus Kadali Maha Falan di Perguruan Tinggi Sebagai Gugus				
	Kedali Mutu Fakultas (GKMF-FT) 1. Penelitian Ilmiah			3	
	2. Penulisan Karva Ilmiah				
				1	
IL PENELITIAN	3. Penulisan Diktat Kuliah				
IL PERELIMAN	4. Menerjemahkan Buku Kuliah				
	5. Pengembangan Program Kuliah Kurikulum				
	6. Pengembangan Bahan Ajar				
	Menduduki jabatan di Pemerintahan				
II. PENGABDIAN	Pengembangan Hasil Pendidikan dan Penelitian				
	Memberikan penyuluhan/pelatihan/penataran/ceramah				
PADA	Memberikan Pelayanan Kepada Masyarakat			1	
MASYARAKAT	5. Menulis karya Pengmas yang tidak dipublikasikan				
	6. Pengelolaan Jurnal Ilmiah				
	Menjadi anggota/panitia pada badan/lembaga suatu PT			_	
	Menjadi anggota Badan Lembaga Pemerintah				
	Menjadi anggota organisasi profesi				
V. PENUNJANG	Mewakili PT/lembaga pemerintah, duduk dalam panitia antar lembaga				
	5. Menjadi anggota delegasi nasional ke pertemuan internasional			1	
1	Berperan Serta Aktîf dalam pertemuan ilmiah/seminar			1	
	Anggota dalam tim layanan pendidikan				
Jumlah Total				16	

Kepada yang bersangkutan akan diberikan gaji/honorarium sesuai dengan peraturan penggajian yang berlaku di Institut Sains dan Teknologi Nasional. Penugasan ini berlaku dari tanggal 01 Maret 2025 sampai dengan 31 Agustus 2025

Tembusan:

1. Wakil Rektor 1 - ISTN

2. Wakil Rektor 2 - ISTN

3. Ka. Biro Sumber Daya Manusia - ISTN

4. Ka Prodi Teknik Elektro S1

5. Arsip

lakarta 01 Maret 202

Sr. Suryawan Murtiadi, M.Eng., Ph.D.

BIDANG PENDIDIKAN DAN PENGAJARAN BERITA ACARA PERKULIAHAN KULIAH HYBRID

PERIODE SEMESTER GENAP 2024-2025

MATA KULIAH:

PIRANTI GELOMBANG MIKRO KLAS K

LAMPIRAN BERITA ACARA PERKULIAHAN:

- 1. SK.DEKAN FT-ISTN SEMESTER GENAP 2024/2025
- 2. PRESENSI KEHADIRAN MAHASISWA
- 3. JURNAL PERKULIAHAN MATA KULIAH
- 4. NILAI KOMULATIF; KEHADIRAN, TUGAS, UTS DAN UAS
- 5. CONTOH HAND OUT MATERI AJAR

PROGRAM STUDI TEKNIK ELEKTRO S-1 FAKULTAS TEKNIK INSTITUT SAINS DAN TEKNOLOGI NASIONAL



Jl. Moch. Kahfi II No.RT.13, RT.13/RW.9, Srengseng Sawah, Kec. Jagakarsa, Kota Jakarta Selatan, DKI Jakarta Website : www.istn.ac.id / e-Mail : admin@istn.ac.id / Telepon : (021) 7270090

LAPORAN PERSENTASE PRESENSI MAHASISWA TEKNIK ELEKTRO 2024 GENAP

Mata kuliah : Piranti Gelombang Mikro Nama Kelas : K

Dosen Pengajar : Ir. EDY SUPRIYADI, MT. Ir. IRMAYANI, MT.

No	NIM	Nama	Pertemuan	Alfa	Hadir	ljin	Sakit	Presentase		
Pes	eserta Reguler									
1	24220701	Ibrahim Abdul Hafizh	16	15	1			6.25		
2	24224607	Muhammad Rifki Asfari	16	3	13			81.25		
3	24224702	Km Chandra Bayu Saputra	16		16			100		
4	24224703	Akbar Rhamadan	16		15	1		93.75		
5	24224705	Muhammad Rafi	16	1	14	1		87.5		
6	24224707	Melisa Aftantia	16		16			100		
7	24224716	Alisa	16		16			100		
8	24224718	M. Rafsanjani	16	7	7	2		43.75		
9	24224725	M. FARIS FALAHUDIN	16		16			100		
10	24224727	AYUDITA RIZKY ALDWITANTI	16		16			100		

Jakarta, 31 Juli 2025 Ketua Prodi Teknik Elektro

Dr._ing. AGUS SOFWAN, M.Eng.Sc. NIP. 198509-008



Jl. Moch. Kahfi II No.RT.13, RT.13/RW.9, Srengseng Sawah, Kec. Jagakarsa, Kota Jakarta Selatan, DKI Jakarta Website: www.istn.ac.id / e-Mail: admin@istn.ac.id / Telepon: (021) 7270090

JURNAL PERKULIAHAN TEKNIK ELEKTRO 2024 GENAP

MATA KULIAH : Piranti Gelombang Mikro NAMA DOSEN : Ir. EDY SUPRIYADI, MT.

KREDIT/SKS : 3 SKS KFI AS : K

TATAP MUKA KE	HARI/TANGGAL	I/TANGGAL MULAI SELESAI RUANG STATUS RENCANA MATERI		REALISASI MATERI	KEHADIRAN MHS	PENGAJAR	TANDA TANGAN			
1	Senin, 17 Maret 2025	17:00	18:40	0000	Selesai	Pendahuluan; Orientasi mata Kuliah PGM dan Kontrak Kuliah PGM	Terlaksana	(10 / 10)	Ir. EDY SUPRIYADI, MT.	~ '
2	Senin, 24 Maret 2025	17:00	18:40	0000	Selesai	Tabung Konvensional	Terlaksana + tugas dan latihan soal	(8 / 10)	Ir. EDY SUPRIYADI, MT.	~.
3	Senin, 31 Maret 2025	17:00	18:40	0000	Selesai	Reflex Krystron	Terlaksana	(9 / 10)	Ir. EDY SUPRIYADI, MT.	~.
4	Senin, 7 April 2025	17:00	18:40	0000	Selesai	Tugas 1 PGM Reflex Krystron	Terlaksana	(8 / 10)	Ir. EDY SUPRIYADI, MT.	~.
5	Senin, 14 April 2025	19:30	20:40	0000	Selesai	Reflex 2 Cavity	Terlaksana	(8 / 10)	Ir. EDY SUPRIYADI, MT.	~ '
6	Senin, 21 April 2025	17:00	18:40	0000	Selesai	Tugas 2 Reflex 2 Cavity	Terlaksana	(9 / 10)	Ir. EDY SUPRIYADI, MT.	~ '
7	Senin, 28 April 2025	17:00	18:40	0000	Selesai	Riview Materi Perkuliahan ke-2 s/d materi Perkuliahan ke 6	Terlaksana	(9 / 10)	Ir. EDY SUPRIYADI, MT.	~ '
8	Senin, 5 Mei 2025	17:00	18:40	0000	Selesai	Ujian Tengah Semester (UTS) Pada Semester genap 24-25	Ujian Tengah Semester (UTS) Pada Semester genap 24-25	(9 / 10)	Ir. EDY SUPRIYADI, MT.	~ '



Jl. Moch. Kahfi II No.RT.13, RT.13/RW.9, Srengseng Sawah, Kec. Jagakarsa, Kota Jakarta Selatan, DKI Jakarta Website: www.istn.ac.id / e-Mail: admin@istn.ac.id / Telepon: (021) 7270090

JURNAL PERKULIAHAN TEKNIK ELEKTRO 2024 GENAP

MATA KULIAH : Piranti Gelombang Mikro NAMA DOSEN : Ir. EDY SUPRIYADI, MT.

KREDIT/SKS : 3 SKS KELAS : K

TATAP MUKA KE	IKA		SELESAI	RUANG	STATUS	RENCANA MATERI	REALISASI MATERI	KEHADIRAN MHS	PENGAJAR	TANDA TANGAN
9	Senin, 9 Juni 2025	17:00	18:40		Selesai	Magnetron	Terlaksana	(8 / 10)	Ir. IRMAYANI, MT.	brew
10	Senin, 16 Juni 2025	17:00	18:40		Selesai	Tabung Gelombang Berjalan	Terlaksana	(8 / 10)	Ir. IRMAYANI, MT.	brew
11	Senin, 23 Juni 2025	17:00	18:40		Selesai	Travelling Wave Tube	Terlaksana	(7 / 10)	Ir. IRMAYANI, MT.	brew
12	Senin, 30 Juni 2025	17:00	18:40		Selesai	Dioda GUNN	Terlaksana	(9 / 10)	Ir. IRMAYANI, MT.	brew
13	Senin, 7 Juli 2025	17:00	18:40		Selesai	Dioda TUNNEL	Terlaksana	(8 / 10)	Ir. IRMAYANI, MT.	hen
14	Selasa, 15 Juli 2025	17:00	18:40		Selesai	Dioda IMPATT	Terlaksana Bahan pembelajaran yang telah dibagikan adalah TUGAS I, dan Dioda IMPATT	(6 / 10)	Ir. IRMAYANI, MT.	brew
15	Jumat, 25 Juli 2025	17:00	18:40		Selesai	Low Noise Amplifier	Terlaksana	(7 / 10)	Ir. IRMAYANI, MT.	brew
16	Sabtu, 2 Agustus 2025	13:00	15:30	0000	Selesai	Ujian Akhir Semester (UAS) Pada Semester Genap 24-25	Terlaksana	(7 / 10)	Ir. IRMAYANI, MT.	brew

Jakarta, 31 Juli 2025 Ketua Prodi Teknik Elektro

Dr._ing. AGUS SOFWAN, M.Eng.Sc. NIDN 0331076204



Jl. Moch. Kahfi II No.RT.13, RT.13/RW.9, Srengseng Sawah, Kec. Jagakarsa, Kota Jakarta Selatan, DKI Jakarta Website: www.istn.ac.id / e-Mail: admin@istn.ac.id / Telepon: (021) 7270090

Nama Kelas

: K

LAPORAN NILAI PERKULIAHAN MAHASISWA Program Studi S1 Teknik Elektro

Periode 2024 Genap

Mata kuliah : Piranti Gelombang Mikro

Kelas / Kelompok :

Kode Mata kuliah : EL1612 SKS : 3

No	NIM	Nama Mahasiswa	TUGAS INDIVIDU (20,00%)	UTS (35,00%)	UAS (35,00%)	KEHADIRAN (10,00%)	Nilai	Grade	Lulus	Sunting KRS?	Info
1	24220701	Ibrahim Abdul Hafizh	0.00	0.00	0.00	6.25	0.63	Е			
2	24224607	Muhammad Rifki Asfari	40.00	90.00	80.00	81.25	75.63	A-	✓		
3	24224702	Km Chandra Bayu Saputra	73.00	85.00	70.00	100.00	78.85	A-	✓		
4	24224703	Akbar Rhamadan	75.00	80.00	80.00	93.75	80.38	Α	✓		
5	24224705	Muhammad Rafi	78.00	80.00	80.00	87.50	80.35	Α	✓		
6	24224707	Melisa Aftantia	75.00	90.00	80.00	100.00	84.50	Α	✓		
7	24224716	Alisa	80.00	85.00	80.00	100.00	83.75	Α	✓		
8	24224718	M. Rafsanjani	0.00	80.00	0.00	43.75	32.38	E			
9	24224725	M. FARIS FALAHUDIN	75.00	80.00	80.00	100.00	81.00	Α	✓		
10	24224727	AYUDITA RIZKY ALDWITANTI	80.00	90.00	80.00	100.00	85.50	А	✓		

Tanggal Cetak : Sabtu, 9 Agustus 2025, 16:43:29

Paraf Dosen :

Ir. EDY SUPRIYADI, MT.

I IDMAYANI MT

EDY SUPRIYADI, MT. Ir. IRMAYANI, MT.

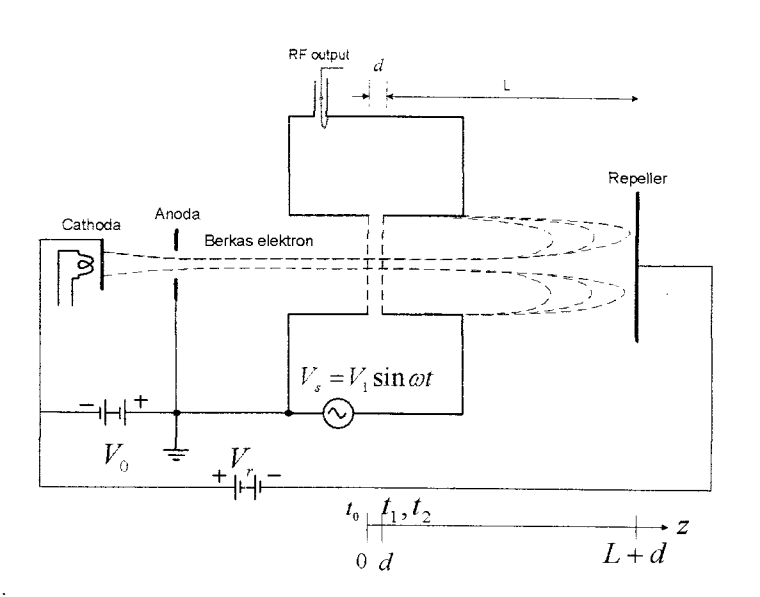
Xicetak oleh: Ir. EDY SUPRIYADI, MT., pada 09 Agustus 2025 16:43:29 WIB | siakad.istn.ac.id/siakadirep_nilaikulla

Reflex Klystron

Bila sebagian daya luaran pada klystron dua cavity dimasukan kembali (umpan balik) ke cavity masukan dan jika penguatan magnitud sama dengan satu dengan pergeseran fasa kelipatan 2π , maka klystron akan berosilasi. Bagaimanapun, osilator dengan dua cavity biasanya tidak dilakukan, karena sewaktu frekuensi osilasi divariasikan maka frekuensi resonansi dari setiap cavity dan pergeseran fasa lintasan umpan balik harus diatur kembali untuk mendapatkan umpan balik positif. Dengan demikian sangat sulit untuk melakukan pengaturan dengan dua cavity. Reflex klystron adalah klystron dengan satu cavity yang bisa mengatasi kelemahan dari osilator dua cavity.

Reflex klystron adalah generator daya-rendah dengan luaran 10 sampai 500 mW pada bentangan frekuensi 1 sampai 25 GHz dengan efisiensi sekitar 20 sampai 30%. Reflex klystron sangat luas digunakan dalam laboratorium untuk pengukuran gelombang mikro dan sebagai osilator lokal dalam penerima gelombang mikro dalam komersil, militer dan radar Doppler penerbangan.

Teori dari klystron dua cavity dapat digunakan untuk menganalisis reflex klystron dengan sedikit modifikasi. Diagram skema dari reflex klystron diperlihatkan pada Gbr. 1.



Keterangan gambar:

 t_0 : waktu untuk elektron memasuki celah cavity pada z = 0.

 t_1 : waktu untuk elektron yang sama memasuki celah cavity pada z = d.

 t_2 : waktu untuk elektron yang sama dikembalikan oleh medan perlambatan pada z = d dan dikumpulkan pada dinding cavity.

Gbr. 1. Skema diagram reflex klystron.

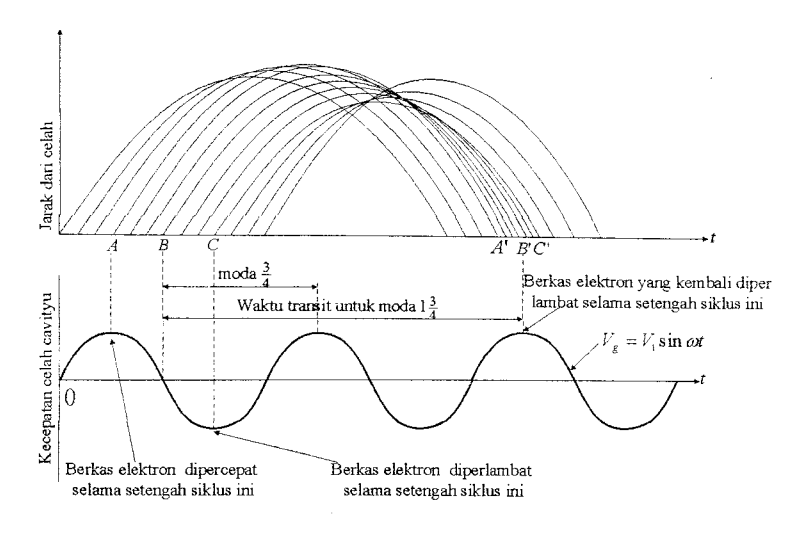
Pertama elektron yang diinjeksikan dari katoda memasuki celah cavity dimodulasi-kecepatan oleh tegangan celah cavity. Sebagian elektron dipercepat oleh medan percepatan dengan kecepatan yang lebih besar begitu memasuki darerah repeller. Sebagian lagi elektron diperlambat oleh medan perlambatan dengan kecepatan yang lebih rendah.

Sewaktu elektron hasil modulasi kecepatan ini memasuki daerah repeller, maka berkas elektron diperlambat dan dipantulkan kembali kearah yang berlawanan untuk melewati celah cavity oleh medan DC dari potensial $-V_r$ dengan medan V_r/s .

Semua elektron yang berbalik kembali oleh medan V_r/s kemudian menyatu melewati celah cavity dimana terjadi sekali untuk setiap siklus. Dalam perjalanannya kembali, elektron yang menyatu melewati celah selama fasa perlambatan dari medan bolak balik menyerahkan energi kinetiknya pada energi elektromagnetik dari medan yang ada dalam cavity.

Sudut fasa arus AC dibuat sedemikian rupa sehingga medan dalam cavity diperkuat oleh berkas elektron kembali yang sefasa dengan medan pemodulasi sesungguhnya.

Agar osilasi tetap terjaga, harus ada kecocokan waktu transit elektron referensi pada ruang repeller seketika meninggalkan celah dengan seketika kembalinya. Jelaslah, bahwa kemungkinan terbaik waktu untuk elektron kembali kecelah cavity adalah sewaktu tegangan yang ada pada lintasan celah melakukan perlambatan maksimum terhadap elektron. Pada kondisi ini tegangan celah maksimum dimana elektron-elektron yang kembali berada pada sebelah kanan celah (akan memasuki celah). Kemudian elektron-elektron akan jatuh menuju tegangan minimum diantara kisi-kisi celah, sehingga dengan demikian akan menyerahkan sejumlah maksimum energi pada celah. Karena itu, waktu terbaik untuk elektron kembali pada celah adalah pada sudut 90° dari gelombang sinus tegangan celah. Kemudian energi luaran osilator diambil dari cavity dan elektron dikumpulkan oleh dinding cavity atau bagian metal lainnya yang ditanahkan. Gbr. 2 memperlihatkan diagram Applegate untuk moda 1¾ dari reflex klystron.



Gbr. 2. Diagram Applegate dengan tegangan celah untuk reflex klystron.

Modulasi Kecepatan

Analisis tabung reflex klystron sama seperti pada tabung klystron dua cavity. Untuk penyederhanaan, pengaruh gaya muatan-ruang pada pergerakan elektron diabaikan. Elektron dari katoda yang memasuki celah cavity pada z=0 dan waktu t_0 dianggap mempunyai kecepatan merata, yaitu

$$v_0 = \sqrt{\frac{2eV_0}{m}} = 0,593 \times 10^6 \sqrt{V_0} \qquad m/dt$$
 (1)

Elektron yang sama meninggalkan celah cavity pada z = d pada waktu t_1 mempunyai kecepatan

$$v(t_1) = v_0 \left[1 + \frac{\beta_i V_1}{2V_0} \sin\left(\omega t_1 - \frac{\theta_g}{2}\right) \right]$$
 (2)

Persamaan (2) identik dengan persamaan (11) pada klystron dua cavity. Elektron yang sama dipaksa berbalik arah kembali ke cavity pada z = d dengan waktu t_2 oleh medan listrik perlambatan E yang diberikan oleh

$$E = \frac{V_r + \left(V_0 + V_1 \sin \omega t\right)}{L} \tag{3}$$

Medan listrik perlambatan ini dianggap konstan dalam arah z. Persamaan gaya untuk satu elektron adalah

$$m\frac{d^2z}{dt^2} = -eE = -e\left(\frac{V_r + V_0}{L}\right) \tag{4}$$

, dimana $E = -\nabla V$ digunakan hanya dalam arah z dan V_r adalah magnitud dari tegangan repeller (repeller) dan dianggap $|V_I|\sin \omega t| \ll (V_r + V_0)$. Dengan mengintegralkan persamaan (4)

$$\frac{dz}{dt} = -\frac{e\left(V_r + V_0\right)}{mL} \int_{t_0}^{t} dt = -\frac{e\left(V_r + V_0\right)}{mL} \left(t - t_1\right) + K_1 \tag{5}$$

Untuk $t = t_1$, maka $\frac{dz}{dt} = v(t_1) = K_1$ sehingga

$$\frac{dz}{dt} = -\frac{e\left(V_r + V_0\right)}{mL}(t - t_1) + v(t_1)$$

, atau

$$z = \int dz = -\frac{e(V_r + V_0)}{mL} \int_{t_1}^{t} (t - t_1) dt + v(t_1) \int_{t_1}^{t} dt$$
$$= -\frac{e(V_r + V_0)}{2mL} (t - t_1)^2 + v(t_1)(t - t_1) + K_2$$

Untuk $t = t_1, z = d$ maka $K_2 = d$ sehingga

$$z = -\frac{e(V_r + V_0)}{2mL}(t - t_1)^2 + v(t_1)(t - t_1) + d$$
(6)

Dengan anggapan bahwa elektron yang meninggalkan celah cavity pada z = d dengan waktu t_1 dengan kecepatan $v(t_1)$ dan kembali pada celah pada z = d dengan waktu t_2 , maka pada saat $t = t_2$; z = d persamaan (6) menjadi

$$d = -\frac{e(V_r + V_2)}{2mL}(t_2 - t_1)^2 + v(t_1)(t_2 - t_1) + d$$

, atau

$$v(t_1) = \frac{e(V_r + V_2)}{2mL}(t_2 - t_1)$$

, sehingga

$$T' = (t_2 - t_1) = \frac{2mL}{e(V_0 + V_r)} v(t_1)$$
 (7)

Subsitusikan persamaan (2) ke persamaan (7), maka dihasilkan waktu transit bolak balik dalam daerah repeller, yaitu

$$T' = (t_2 - t_1) = \frac{2mL}{e(V_0 + V_r)} v_0 \left\{ 1 + \frac{\beta_i V_1}{2V_0} \sin\left(\omega t_1 - \frac{\theta_g}{2}\right) \right\}$$

, atau

$$T' = (t_2 - t_1) = T_0' \left\{ 1 + \frac{\beta_i V_1}{2V_0} \sin\left(\omega t_1 - \frac{\theta_g}{2}\right) \right\}$$
 (8)

, dimana

$$T_0' = \frac{2mLv_0}{e\left(V_0 + V_r\right)} \tag{9}$$

adalah waktu transit DC bolak balik dari pusat bergabungnya elektron (center of the bunch). Bila persamaan (8) dikalikan dengan ω

$$\omega\left(t_{2}-t_{1}\right)=\omega T_{0}'\left\{1+\frac{\beta_{i}V_{1}}{2V_{0}}\sin\left(\omega t_{1}-\frac{\theta_{g}}{2}\right)\right\}$$

, atau

$$\omega \left(t_2 - t_1 \right) = \theta_0' + X' \sin \left(\omega t_1 - \frac{\theta_g}{2} \right)$$
 (10)

, dimana $\theta_0' = \omega T_0'$ (11)

adalah sudut transit DC bolak balik dan

$$X' = \frac{\beta_i V_1}{2V_0} \theta_0' \tag{12}$$

adalah parameter osilator reflex klystron.

Daya Luaran dan Efisiensi

Agar berkas elektron menghasilkan jumlah maksimum energi untuk osilasi, maka berkas elektron yang kembali harus memotong celah cavity sewaktu medan celah maksimum. Dalam hal ini jumlah maksimum energi kinetik dapat dipindahkan dari elektron yang kembali ke dinding cavity. Untuk perpindahan energi yang maksimum sudut transit bolak balik mengacu pada pusat dari penyatuan berkas elektron yang dapat dipenuhi oleh persamaan

$$\omega(t_2 - t_1) = \omega T_0' = (n - \frac{1}{4}) 2\pi = 2\pi N = 2\pi n - \frac{\pi}{2}$$
 (13)

, dimana dianggap $V_I \ll V_0$, n adalah bilangan bulat positif untuk jumlah siklus, dan $N = n - \frac{1}{4}$ adalah jumlah moda.

Modulasi arus pada berkas elektron selama elektron masuk kembali ke cavity dari daerah repeller dapat ditentukan dengan cara yang sama seperti pada penguat klystron dua cavity. Dengan membandingkan persamaan (10) dengan persamaan (24) pada klystron dua cavity, dapat dilihat bahwa parameter penyatu berkas elektron X' pada osilator reflex klystron mempunyai tanda negatif bila dibandingkan dengan parameter penyatu berkas elektron pada klystron dua cavity. Dengan demikian arus berkas yang diinjeksikan kedalam celah cavity dari daerah repeller mengalir dalam arah z negatif, sehingga sebagai akibatnya arus berkas pada osilator reflex klystron dapat ditulis dengan negatif dari arus berkas penguat klystron dua cavity atau

$$i_{2r} = -I_0 - \sum_{n=1}^{\infty} 2I_0 J_n(nX') \cos n \left(\omega \, t_2 - \theta_0' - \theta_g \right)$$
 (14)

Komponen utama dari arus yang diinduksikan dalam cavity oleh berkas elektron yang termodulasi diberikan oleh

$$i_2 = -\beta_i i_{2r} = 2I_0 \beta_i I_0 J_1(X') \cos n \left(\omega t_2 - \theta_0'\right)$$
(15)

, dimana θ_g diabaikan karena sangat kecil bila dibandingkan dengan θ_0 . Magnitud dari komponen utama adalah

$$I_2 = 2I_0 \beta_i J_1(X') \tag{16}$$

Daya DC yang disuplai oleh tegangan berkas V_0 adalah

$$P_{DC} = V_0 I_0 \tag{17}$$

, dan daya AC yang dikirimkan ke beban adalah

$$P_{AC} = \frac{V_1 I_2}{2} = V_1 I_0 \beta_i J_1(X')$$
 (18)

Dari persamaan (11), (12) dan (13), maka perbandingan tegangan V_1 terhadap V_0 adalah

$$X' = \frac{\beta_i V_1}{2V_0} \theta_0' = \frac{\beta_i V_1}{2V_0} \omega T_0' = \frac{\beta_i V_1}{2V_0} \left(2\pi n - \frac{\pi}{2} \right)$$

, atau

$$\frac{V_1}{V_0} = \frac{2X'}{\beta_i \left(2\pi \, n - \frac{\pi}{2}\right)} \tag{19}$$

Dengan mengsubsitusikan persamaan (19) ke persamaan (18), maka dihasilkan daya luaran

$$P_{AC} = \frac{2X'V_0}{\beta_i \left(2\pi n - \frac{\pi}{2}\right)} I_0 \beta_i J_1(X')$$

, atau

$$P_{AC} = \frac{2V_0 I_0 X' J_1(X')}{\left(2\pi n - \frac{\pi}{2}\right)} \tag{20}$$

Dengan demikian efisiensi elektronik dari osilator reflex klystron adalah

$$Eff = \frac{P_{AC}}{P_{DC}} = \frac{\frac{2V_0 I_0 X' J_1(X')}{\left(2\pi n - \frac{\pi}{2}\right)}}{V_0 I_0}$$

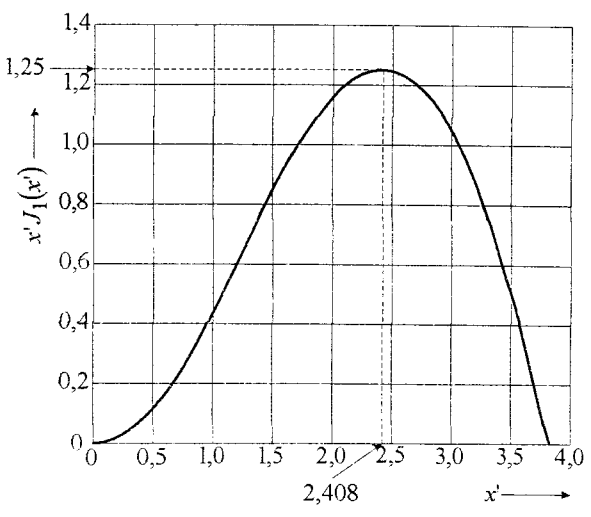
, atau

$$Eff = \frac{2X'J_1(X')}{(2\pi n - \frac{\pi}{2})}$$
 (21)

Faktor $X'J_l(X')$ mencapai harga maksimum 1,25 pada X' = 2,408 yang menghasilkan $J_l(X') = 0,52$. Dalam praktek, moda-moda n = 1 atau n = 2 mempunyai daya luaran terbesar. Bila n = 2 atau moda $1\sqrt[3]{4}$, maka efisiensi elektronik maksimum menjadi

$$Eff = \frac{2(2,408)J_1(2,408)}{2\pi n - \frac{\pi}{2}} = 22,7\%$$

Efisiensi teoritis maksimum dari osilator reflex klystron sekitar 20% sampai dengan 30%. Gbr. 3 memperlihatkan grafik $XJ_I(X')$ versus X'.



Gbr. 3. $X'J_I(X')$ versus X'.

Untuk tegangan berkas V_0 yang diberikan, hubungan antara tegangan repeller dan jumlah siklus n yang diperlukan untuk osilasi ditentukan dengan memasukan persamaan (13) dan (1) ke persamaan (9), dimana

$$\omega T_0 = \frac{\omega 2mLv_0}{e(V_r + V_0)} = \left(2\pi n - \frac{\pi}{2}\right)$$

, atau

$$\frac{\omega 2mL}{e\left(V_r + V_0\right)} \sqrt{\frac{2e}{m}} V_0 = \left(2\pi n - \frac{\pi}{2}\right)$$

, yang menghasilkan

$$\frac{V_0}{(V_r + V_0)^2} = \frac{\left(2\pi \, n - \frac{\pi}{2}\right)^2}{8\omega^2 L^2} \frac{e}{m} \tag{22}$$

Dengan mengsubsitusikan persamaan (22) ke persamaan (20), maka didapatkan daya luaran pada frekuensi pusat yang dinyatakan dalam tegangan repeller V_r , yaitu

$$P_{AC} = \frac{2V_0 I_0 X' J_1(X')}{\left(2\pi n - \frac{\pi}{2}\right)}$$

$$= 2V_0 I_0 X' J_1(X') \frac{\left(V_r + V_0\right)}{2\omega L} \sqrt{\frac{e}{2mV_0}}$$

, atau

$$P_{AC} = \frac{2V_0 I_0 X' J_1(X')}{\omega L} (V_r + V_0) \sqrt{\frac{e}{2mV_0}}$$
 (23)

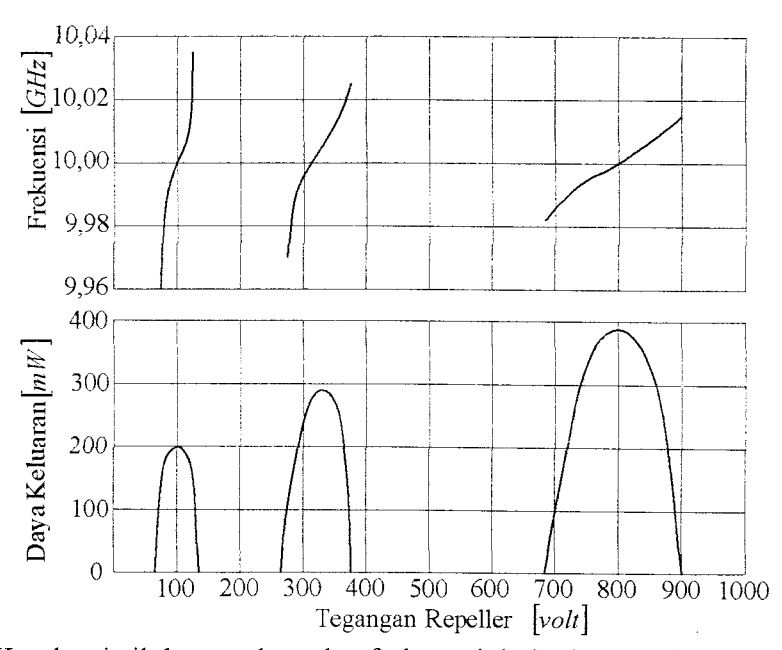
Dari persamaan (22) dapat dilihat bahwa untuk tegangan berkas V_0 yang diberikan dan jumlah siklus n atau jumlah moda N, maka tegangan pusat repeller V_r dapat ditentukan dari frekuensi

pusat. Kemudian daya luaran dapat dihitung dengan persamaan (23). Bila frekuensi bervariasi dari frekuensi pusat dan tegangan repeller disekitar tegangan pusat, daya luaran akan bervariasi sesuai dengan anggapan bentuk genta seperti pada Gbr. 4 berikut.

Admitansi Elektronik

Dari persamaan (15), arus induksi dapat ditulis dalam bentuk fasor

$$i_2 = 2I_0 \beta_i J_1(X') e^{-j\theta_0'} \tag{24}$$



Gbr. 4. Karakteristik luaran daya dan frekuensi dari tabung reflex klystron.

Tegangan yang melewati celah pada waktu t2 juga dapat ditulis dalam bentuk fasor

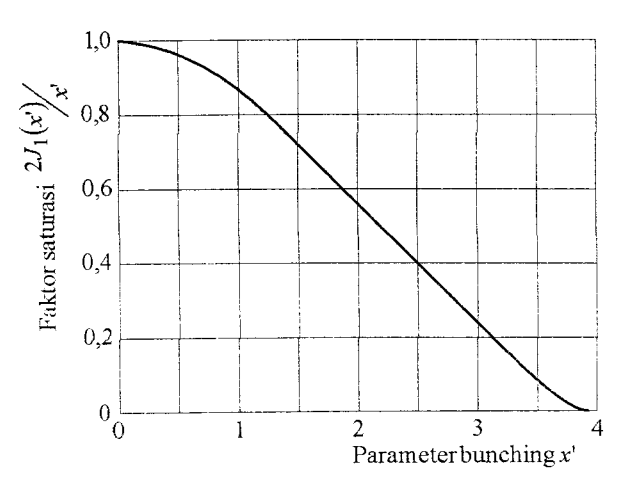
$$V_2 = V_1 e^{-j\frac{\pi}{2}} \tag{25}$$

Perbandingan antara arus i_2 dan tegangan V_2 ditentukan sebagai admitansi elektronik dari reflex klystron, sehingga dari persamaan (12), (24) dan (25) didapat

$$Y_{e} = \frac{i_{2}}{V_{2}} = \frac{2I_{0}\beta_{i}J_{1}(X)e^{-j\theta_{0}'}}{V_{1}e^{-j\frac{\pi}{2}}} = \frac{2I_{0}\beta_{i}J_{1}(X')}{\frac{2V_{0}X'}{\beta_{i}\theta_{0}'}}e^{j(\frac{\pi}{2}-\theta_{0}')}$$

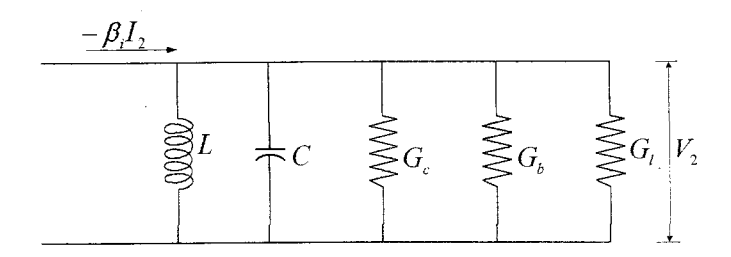
, atau

$$Y = \frac{I_0}{V_0} \frac{\beta_1^2 \theta_0'}{2} \frac{2J_1(X')}{X'} e^{j(\frac{\pi}{2} - \theta_0')}$$
 (26)



Gbr. 5. Faktor kejenuhan reflex klystron

Amplitudo dari fasor admitansi menunjukan bahwa admitansi elektronik merupakan fungsi dari admitansi DC berkas elektron, sudut transit DC, dan transit kedua dari berkas elektron melalui celah cavity. Ini jelas bahwa admitansi elektronik adalah nonlinier karena sebanding dengan faktor $2J_I(X')/X'$, dan X' sebanding dengan tegangan sinyal. Faktor ini sebanding dengan yang ditunjukan oleh Gbr. 5. Bila tegangan sinyal mendekati nol maka faktor akan mendekati satu.



GBr. 6. Rangkaian pengganti reflex klystron.

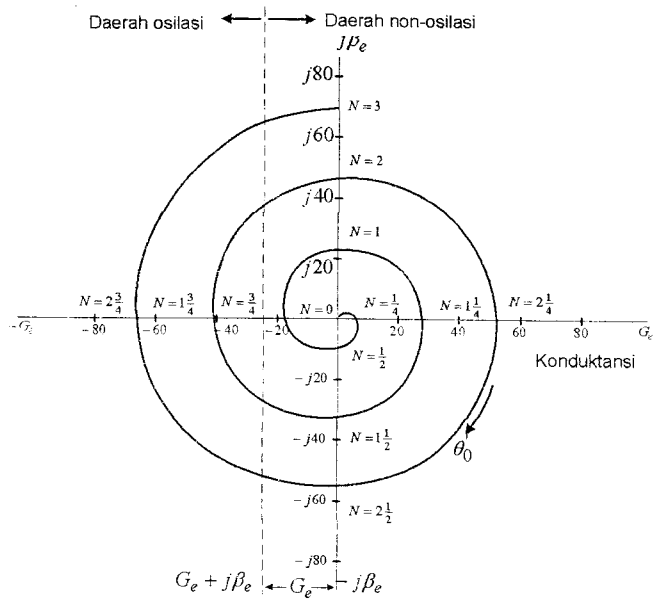
Rangkaian ekivalen reflex klystron digambarkan pada Gbr. 6. Pada rangkaian ini L dan C merupakan elemen penyimpan energi dari cavity. G_c mewakili rugi-rugi tembaga dari cavity. G_b merupakan konduktansi pembebanan berkas elektron dan G_l adalah konduktansi beban.

Kondisi yang harus dipenuhi untuk terjadinya osilasi adalah magnitud komponen riil negatif dari admitansi elektronik seperti yang diberikan oleh persamaan (26) dan tidak lebih kecil dari total konduktansi rangkaian cavity, yaitu

$$\left| -G_{a}\right| \geq G\tag{27}$$

, dimana $G = G_c + G_b + G_l = 1/R_{sh}$ dan R_{sh} adalah tahanan shun efektif. Persamaan (26) dapat ditulis dalam bentuk koordinat kartisis





Gbr. 7. Spiral admitansi elektronik dari reflex klystron

Karena admitansi elektronik yang ditunjukan oleh persamaan (28) merupakan fungsi eksponensial, dimana fasanya sebesar $\frac{1}{2}\pi$ jika θ_0 ' sama dengan nol. Penggambaran admitansi elektronik Y_e ini dalam koordinat kartisis berbentuk spiral seperti pada Gbr. 7. Suatu harga θ_0 ' dimana spiral berada pada daerah sebelah kiri dari garis (G - jB) yang akan menghasilkan osilasi. Spiral akan memotong sumbu riil negatif pada

$$\theta_0' = (n - \frac{1}{4}) 2\pi = N \ 2\pi \tag{29}$$

, dimana N adalah jumlah moda seperti yang diperlihatkan pada gambar.

Contoh Soal

Sebuah reflex klystron bekerja dengan kondisi sebagai berikut: $V_0 = 600 \text{ volt}$, $R_{sh} = 15 \text{ k}\Omega$, $f_r = 9 \text{ GHz}$, L = 1 mm, dan $e/m = 1,759 \times 10^{11}$ (MKS sistem). Tabung berosilasi pada frekuensi f_r puncak moda n = 2 atau moda $1^3/4$. Dianggap bahwa waktu transit melewati celah dan beam loading diabaikan.

- a. Tentukanlah besarnya tegangan repeller V_r .
- b. Tentukanlah arus DC untuk membrikan tegangan celah gelombang mikro 200 volt,
- c. Tentukan efisiensi elektronik dalam kondisi ini.

Jawaban

a. Dari persamaan (22), didapatkan

$$\frac{V_0}{\left(V_r + V_0\right)^2} = \frac{\left(2\pi \, n - \frac{\pi}{2}\right)^2}{8\omega^2 L^2} \frac{e}{m} = \left(1,759 \times 10^{11}\right) \frac{\left(2\pi \times 2 - \frac{1}{2}\pi\right)^2}{8\left(2\pi \times 9 \times 10^9\right)^2 \left(10^{-3}\right)^2} = 0,832 \times 10^{-3}$$

$$\left(V_r + V_0\right)^2 = \frac{600}{0,832 \times 10^{-3}} = 0,721 \times 10^6 \quad \Rightarrow \quad V_r = 250 \quad volt$$

b. Dengan menganggap $\beta_0 = 1$. Karena $V_1 = I_2 R_{sh} = 2I_0 J_1(X') R_{sh}$ maka arus searah I_0 adalah

$$I_0 = \frac{V_1}{2J_1(X')R_{sh}} = \frac{200}{2(0.582)(15 \times 10^3)} = 11,45 \text{ mA}$$

c. Dari persamaan (20), besarnya efisiensi elektronik adalah

$$Eff = \frac{2X'J_1(X')}{2\pi n - \frac{\pi}{2}} = \frac{2(,833)(0,582)}{2\pi(2) - \frac{\pi}{2}} \times 100\% = 19,4\%$$